

01;05;09

## Параметрическое возбуждение спиновых волн в одноосных ферритах

© А.В. Назаров, А.Г. Гуревич

Физико-технический институт им.А.Ф.Иоффе Российской академии наук,  
194021 Санкт-Петербург, Россия

(Поступило в Редакцию 26 мая 1997 г.)

Теоретически исследовано параметрическое возбуждение спиновых волн в одноосных ферритах с большой анизотропией. Рассмотрены процессы 1-го порядка в сфере при произвольной ориентации внешнего постоянного магнитного поля, когда накачка является наклонной. Для двух ферритов — с легкой осью и легкой плоскостью анизотропии численно рассчитаны величины порогового поля и параметры возбуждаемых спиновых волн.

### Введение

Параметрическое возбуждение спиновых волн было подробно исследовано [1] для случая поперечной накачки: рассматривались процессы передачи энергии от однородной прецессии намагниченности (которая возбуждалась переменным магнитным полем, перпендикулярным постоянной намагниченности  $\mathbf{M}_0$ ) парам спиновых волн. Несколько позднее [2,3] было исследовано параметрическое возбуждение спиновых волн при продольной накачке; в этом случае энергия передавалась парам спиновых волн непосредственно переменным магнитным полем, параллельным  $\mathbf{M}_0$ . Параметрическое возбуждение спиновых волн при продольной накачке в ферромагнетике с легкой плоскостью анизотропии было исследовано в [4,5]. Полученные результаты были подтверждены экспериментально [6–8]. В расчетах [4,5], а также в эксперименте [6–8] и последующих работах постоянная намагниченность  $\mathbf{M}_0$  совпадала по направлению с внешним постоянным магнитным полем  $\mathbf{H}_{e0}$ . Однако это реализуется (для веществ с легкой плоскостью анизотропии) лишь при поле  $\mathbf{H}_{e0}$ , лежащем в легкой плоскости, или (при достаточно большом поле) при  $\mathbf{H}_{e0}$ , направленном по трудной оси, причем в последнем случае это направление весьма критично. Таким образом, если переменное поле  $\mathbf{h}$  параллельно  $\mathbf{H}_{e0}$ , то накачка является продольной лишь в указанных частных случаях, а в общем случае является наклонной, т.е. параметрическое возбуждение спиновых волн осуществляется совместно однородной прецессией и переменным полем, параллельным  $\mathbf{M}_0$ . Реализация же чисто продольной или чисто поперечной накачки в эксперименте становится в веществах с большой анизотропией трудноосуществимой. Параметрическое возбуждение спиновых волн в одноосном анизотропном ферромагнетике без предположения о параллельности  $\mathbf{M}_0$  и  $\mathbf{H}_{e0}$  было исследовано в [9]. Однако в этой работе рассматривались случаи чисто продольной и чисто поперечной накачек и, кроме того, не проводилось минимизации порогового поля.

Параметрическое возбуждение спиновых волн при наклонной накачке в изотропном ферромагнетике было рассмотрено в [10], а в [11,12] теория была распростра-

нена на случай малой кубической анизотропии. Интерес, проявляемый к магнитным материалам с большой анизотропией, в частности к гексагональным ферритам (см., например, [13]), делает актуальной задачу о параметрическом возбуждении спиновых волн в сильноанизотропных ферритах при произвольной, наклонной накачке. Ее решение позволило бы, в частности, более полно использовать измерение пороговых полей параметрического возбуждения для изучения процессов релаксации в этих материалах.

Данная работа представляет собой первый шаг в указанном направлении. В ней был проведен расчет пороговых полей параметрического возбуждения спиновых волн при наклонной накачке в монокристаллах ферритов с большой одноосной анизотропией как с легкой осью, так и с легкой плоскостью. При этом мы ограничились исследованием процессов 1-го порядка (частота спиновых волн  $\omega_k = \omega/2$ , где  $\omega$  — частота накачки) в сферическом образце, а феррит рассматривался как непроводящий ферромагнетик. ниже для этого случая приводятся некоторые результаты численных расчетов порогового поля, точнее отношения порогового поля к параметру диссипации спиновых волн, а также параметров возбуждаемых спиновых волн.

### 1. Уравнения для амплитуд спиновых волн

Рассмотрим сферу из одноосного монокристаллического ферромагнетика, помещенную в постоянное внешнее магнитное поле  $\mathbf{H}_{e0}$ . Выберем оси координат так, чтобы равновесная намагниченность  $\mathbf{M}_0$  была направлена по оси  $z$ , а ось анизотропии  $z'$  лежала в плоскости  $zy$  (рис. 1). Ограничимся учетом только первой константы анизотропии  $K_1$ , которая может быть как положительной, так и отрицательной. Эффективное поле анизотропии может быть представлено в виде [14]

$$\mathbf{H}_{A1} = -\overleftrightarrow{N}^a \mathbf{M}, \quad (1)$$

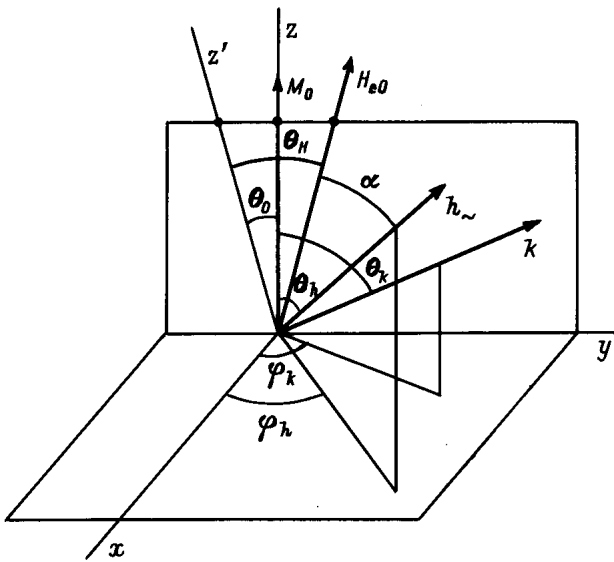


Рис. 1. Оси координат.

где  $\mathbf{M}$  — намагниченность, а не равные нулю компоненты тензора анизотропии  $\vec{N}^a$

$$N_{22}^a = -\frac{2H_{A1}}{M_0} \sin^2 \theta_0, \quad N_{23}^a = \frac{2H_{A1}}{M_0} \sin \theta_0 \cos \theta_0, \\ N_{33}^a = -\frac{2H_{A1}}{M_0} \cos^2 \theta_0. \quad (2)$$

Здесь  $H_{A1} = K_1/M_0$ ,  $\theta_0$  — угол между осью анизотропии и постоянной намагниченностью — осью  $z$ . Его величина определяется из трансцендентного уравнения [14]

$$\sin 2\theta_0 = \frac{H_{e0}}{H_{A1}} \sin(\theta_H - \theta_0), \quad (3)$$

где  $\theta_H$  — угол между  $\mathbf{H}_{e0}$  и осью анизотропии (рис. 1).

Будем рассматривать сферу, намагниченную до насыщения. Условие отсутствия доменной структуры имеет вид

$$H_{e0} \cos(\theta_H - \theta_0) \geq 4\pi M_0/3. \quad (4)$$

Следуя [1], запишем сначала уравнение движения намагниченности без учета диссипации

$$\frac{\partial \mathbf{M}}{\partial t} = -\gamma \mathbf{M} \times \mathbf{H}_{\text{ef}}, \quad (5)$$

где  $\mathbf{M} = \mathbf{M}_0 + \mathbf{m}$  — намагниченность, включающая постоянную и переменную составляющие, а эффективное поле

$$\mathbf{H}_{\text{ef}} = \mathbf{H}_{e0} + \mathbf{H}_{\text{ex}} + \mathbf{H}_a + \mathbf{H}_d + \mathbf{h}_{\sim} \quad (6)$$

состоит из внешнего постоянного магнитного поля, обменного поля, эффективного поля анизотропии, размагничивающего поля и внешнего переменного поля. Будем

считать обменное взаимодействие и гиромангнитное отношение  $\gamma$  изотропными. Обменное поле в рассматриваемом случае можно записать в виде

$$\mathbf{H}_{\text{ex}} = \frac{\eta}{\gamma M_0} \nabla^2 \mathbf{m}, \quad (7)$$

где  $\eta$  — константа неоднородного обмена.

Внешнее переменное поле  $\mathbf{h}_{\sim} = \mathbf{h} \cos \omega t$  линейно поляризовано. Переходя к циркулярным переменным  $m_{\pm} = m_x \pm im_y$ ,  $H_{\text{ef}\pm} = H_{\text{ef}x} \pm iH_{\text{ef}y}$ , получим из уравнения (5)

$$-i\dot{m}_+ = \gamma m_+ H_{\text{ef}z} - \gamma M_z H_{\text{ef}+} \quad (8)$$

и аналогичное уравнение для  $m_-$ . Будем рассматривать малые колебания намагниченности и предположим, что длина вектора  $\mathbf{M}$  сохраняется. Тогда

$$M_z = M_0 \left( 1 - \frac{m_+ m_-}{2M_0} \right). \quad (9)$$

Разложим переменное  $m_{\pm}$  в ряды Фурье

$$m_+ = M_0 \sum_k a_k \exp(ikr), \\ m_- = M_0 \sum_k a_{-k}^* \exp(ikr). \quad (10)$$

Члены с  $k = 0$  в этих разложениях соответствуют [1] однородным колебаниям намагниченности, а остальные члены — плоским спиновым волнам. Выражения, которые получаются при этом для  $\mathbf{H}_{\text{ex}}$  и  $\mathbf{H}_d$ , приведены в [1]. Запишем (8) и уравнение для  $m_-$  в переменных  $a_k$  и  $a_{-k}^*$  и приравняем члены при  $\exp(ikr)$  в обеих частях уравнений. Примем, что  $a_{k \neq 0} \ll a_0 \ll 1$ . Тогда из уравнения (8) для  $k = 0$  без учета малых членов следует

$$-i\dot{a}_0 = a_0(\omega_H + \xi_a) - a_0^* \eta_a - \gamma h_{\sim \perp}, \quad (11)$$

где

$$\omega_H = \gamma H_{e0} \sin(\theta_H - \theta_0), \quad \xi_a = \frac{\omega_M}{8\pi} (N_{22}^a - 2N_{33}^a),$$

$$\eta_a = \frac{\omega_M}{8\pi} N_{22}^a, \quad \omega_M = 4\pi\gamma M_0,$$

$$h_{\sim \perp} = h \sin \theta_h \exp(i\varphi_h) \cos \omega t. \quad (12)$$

Здесь  $h$  — амплитуда внешнего переменного поля,  $\theta_h$  и  $\varphi_h$  — его полярный и азимутальный углы (рис. 1). Решение системы уравнений (11) и сопряженного можно записать в виде

$$a_0 = a_0^+ \exp(i\omega t) + a_0^- \exp(-i\omega t), \quad (13)$$

где

$$\begin{aligned}
 a_0^+ &= \frac{\gamma h \sin \theta_h}{\sqrt{2\omega_a}} \left( \frac{\sqrt{\omega_a + \omega_1}}{\omega_a - \omega} \exp(i\psi_h) \right. \\
 &\quad \left. - \frac{\sqrt{\omega_1 - \omega_a}}{\omega_a + \omega} \exp(-i\psi_h) \right), \\
 a_0^- &= \frac{\gamma h \sin \theta_h}{\sqrt{2\omega_a}} \left( \frac{\sqrt{\omega_a + \omega_1}}{\omega_a + \omega} \exp(i\psi_h) \right. \\
 &\quad \left. - \frac{\sqrt{\omega_1 - \omega_a}}{\omega_a - \omega} \exp(-i\psi_h) \right), \\
 \omega_a^2 &= \omega_1^2 - \eta_a^2, \quad \omega_1 = \omega_H + \xi_a, \\
 \operatorname{tg} \psi_h &= \frac{h_y}{h_x} \frac{\omega_1 + \omega_a}{\omega_a}.
 \end{aligned} \quad (14)$$

Вблизи резонанса ( $\omega = \omega_a$ ) в полученных выражениях необходимо произвести замену  $\omega_a \rightarrow \omega_a + i\gamma\Delta H_0/2$ , где  $\Delta H_0$  — параметр диссипации однородной прецессии.

Запишем теперь уравнение (8) для  $k \neq 0$ , используя выражения для  $\mathbf{H}_{\text{ex}}$  и  $\mathbf{H}_a$ , приведенные в [1], и оставляя члены, содержащие  $a_0$  в степени не выше первой,

$$\begin{aligned}
 -i\dot{a}_k &= (A_k + \xi_a + \lambda h_z + D_1) a_k \\
 &\quad + [B_k \exp(2i\varphi_k) - \eta_a + D_2] a_{-k}^*.
 \end{aligned} \quad (16)$$

Аналогичное (присоединенное) уравнение получается для  $a_{-k}^*$ . В (16) введены следующие обозначения:

$$\begin{aligned}
 A_k &= \omega_H - \gamma \frac{4\pi M_0}{3} + \eta k^2 + \frac{\omega_M}{2} \sin^2 \theta_k, \quad B_k = \frac{\omega_M}{2} \sin^2 \theta_k, \\
 D_1 &= -\frac{\omega_M}{2} \left( \frac{k_+ k_z}{k^2} a_0^* + \frac{k_+^* k_z}{k^2} a_0 \right) - \frac{\omega_M}{4\pi} N_{23}^a (a_0 - a_0^*), \\
 D_2 &= -\frac{\omega_M}{2} \frac{k_+ k_z}{k^2} a_0 - \frac{\omega_M}{4\pi} N_{23}^a a_0, \quad k_+ = k_x + ik_y,
 \end{aligned} \quad (17)$$

где  $\theta_k$  и  $\varphi_k$  — полярный и азимутальный углы волнового вектора  $\mathbf{k}$ .

Коэффициенты  $D_1$  и  $D_2$  отражают связь однородной прецессии со спиновыми волнами. Они существенно зависят от величины и направления поля анизотропии  $\mathbf{H}_a$ . Уравнение (16) и присоединенное являются связанными даже в линейном приближении. Перейдем к амплитудам нормальных колебаний  $b_k$  и  $b_{-k}^*$ , проведя преобразование, аналогичное третьему преобразованию Хольштейна–Примакова,

$$a_k = \lambda_k b_k - \mu_k b_{-k}^*, \quad a_{-k}^* = \lambda_k b_{-k}^* - \mu_k^* b_k, \quad (18)$$

$$\lambda_k = \sqrt{\frac{A_k + \xi_a + \omega_k}{2\omega_k}},$$

$$\mu_k = \sqrt{\frac{A_k + \xi_a - \omega_k}{2\omega_k} \frac{[B_k \exp(2i\varphi_k) - \eta_a]}{[B_k \exp(2i\varphi_k) - \eta_a]}}, \quad (19)$$

$$\omega_k^2 = (A_k + \xi_a)^2 - |B_k \exp(2i\varphi_k) - \eta_a|^2. \quad (20)$$

В (20)  $\omega_k$  — частота спиновых волн. Уравнения для переменных  $b_k$  и  $b_{-k}^*$ , которые получаются из (16) и присоединенного, являются связанными лишь вследствие нелинейности. Решение их можно искать в виде

$$b_k = b_k^0 \exp(i\omega_k t), \quad b_{-k}^* = b_{-k}^{0*} \exp(-i\omega_k t), \quad (21)$$

где  $b_k^0$  и  $b_{-k}^{0*}$  — медленноменяющиеся функции времени. Уравнение для  $b_k^0$  имеет вид

$$\begin{aligned}
 -ib_k^0 &= \left[ \lambda_k^2 (\gamma h_z + D_1) - \lambda_k (\mu_k^* D_2 + \mu_k D_2^*) \right. \\
 &\quad \left. + |\mu_k|^2 (\gamma h_z + D_1^*) \right] b_k^0 - \left[ \lambda_k^2 D_2 + \mu_k^2 D_2 \right. \\
 &\quad \left. - \lambda_k \mu_k (2\gamma h_z + D_1 + D_1^*) \right] b_{-k}^{0*} \exp(2i\omega_k t).
 \end{aligned} \quad (22)$$

Второе уравнение — присоединенное отличается от (22) заменой  $b_k^0 \rightleftharpoons b_{-k}^{0*}$  и комплексным сопряжением.

## 2. Пороговое поле для процессов 1-го порядка

Рассмотрим случай  $\omega \approx 2\omega_k$ . Следуя [1], пренебрежем в уравнении (20) и присоединенном всеми быстроизменяющимися во времени членами, которые приводят лишь к малой высокочастотной модуляции. Полученные уравнения можно записать в форме

$$\begin{aligned}
 ib_k^0 &= b_{-k}^{0*} \exp(i(\omega - \omega_k)t) Y_k, \\
 -ib_{-k}^{0*} &= b_k^0 \exp(-i(\omega - \omega_k)t) Y_{-k}^*,
 \end{aligned} \quad (23)$$

где

$$\begin{aligned}
 Y_k &= \lambda_k^2 \left( -\frac{\omega_M}{2} \frac{k_+ k_z}{k^2} - \frac{\omega_M}{4\pi} N_{23}^a \right) a_0^+ + \mu_k^2 \left( -\frac{\omega_M}{2} \frac{k_+^* k_z}{k^2} \right. \\
 &\quad \left. - \frac{\omega_M}{4\pi} N_{23}^a \right) a_0^{-*} - \lambda_k \mu_k \left( \gamma h_z - a_0^+ \omega_M \frac{k_+ k_z}{k^2} \right. \\
 &\quad \left. - a_0^{-*} \omega_M \frac{k_+^* k_z}{k^2} \right).
 \end{aligned} \quad (24)$$

Учтем теперь затухание спиновых волн с помощью замены

$$\omega_k \rightarrow \omega_k + i\omega_{rk}, \quad (25)$$

где  $\omega_{rk}$  — частота релаксации спиновых волн.

Нетрудно убедиться, что амплитуда пар спиновых волн с волновыми векторами  $\mathbf{k}$  и  $-\mathbf{k}$  будут нарастать при  $|Y_k| > \omega_{rk}$ . При возрастании амплитуды переменного поля  $h$  наступит момент, когда для некоторой пары спиновых волн, определяемой параметрами  $k$ ,  $\theta_k$ ,  $\varphi_k$ , энергия, передаваемая ей переменным полем, превысит затухание, описываемое параметром релаксации  $\Delta H_k = 2\omega_{rk}/\gamma$ . Величина порогового поля  $h_{\text{thr}}$  может быть получена в результате минимизации выражения для  $h$ , которое следует из условия  $Y_k = \omega_{rk}$  с учетом

выражений (19), (20), (23), (24). Выражение для  $h_{\text{thr}}$  можно представить в виде

$$h_{\text{thr}} = \min \left\{ \frac{\omega_k \Delta H_k}{\omega_M |W_k|} \right\}, \quad (26)$$

где

$$\begin{aligned} W_k = & \frac{1}{4} (A_k + \xi_a + \omega_k) \left( \exp(i\varphi_k) \sin 2\theta_k + \frac{N_{23}^a}{\pi} \right) a_{01} \\ & + \frac{1}{4} (A_k + \xi_a - \omega_k) \frac{[B_k \exp(2i\varphi_k) - \eta_a]^2}{|B_k \exp(2i\varphi_k) - \eta_a|^2} \\ & \times \left( \exp(-i\varphi_k) \sin 2\theta_k + \frac{N_{23}^a}{\pi} \right) a_{02} \\ & + [B_k \exp(2i\varphi_k) - \eta_a] \left[ \frac{\cos \theta_h}{\omega_M} - \frac{a_{01}}{2} \exp(-i\varphi_k) \right. \\ & \left. \times \sin 2\theta_k - \frac{a_{02}}{2} \exp(i\varphi_k) \sin 2\theta_k \right], \quad (27) \end{aligned}$$

$$\begin{aligned} a_{01} = & \frac{\sin \theta_h}{\sqrt{8\omega_a}} \left( \frac{\sqrt{\omega_a + \omega_1}}{\omega_a - \omega} \exp(i\psi_h) \right. \\ & \left. - \frac{\sqrt{\omega_1 - \omega_a}}{\omega_a + \omega} \exp(-i\psi_h) \right), \\ a_{02} = & \frac{\sin \theta_h}{\sqrt{8\omega_a}} \left( \frac{\sqrt{\omega_a + \omega_1}}{\omega_a + \omega} \exp(i\psi_h) \right. \\ & \left. - \frac{\sqrt{\omega_1 - \omega_a}}{\omega_a - \omega} \exp(-i\psi_h) \right). \quad (28) \end{aligned}$$

Отметим, что для частного случая наклонной накачки в изотропном ферромагнетике выражения (26)–(28) совпадают с результатами работы [10], а в случае, когда переменное и постоянное магнитное поле совпадают по направлению и лежат в легкой плоскости анизотропии, — с результатами работы [5].

### 3. Области существования процессов 1-го порядка

Для того чтобы выяснить, при каких значениях  $\omega$ ,  $H_{e0}$  и  $\theta_H$  возможно параметрическое возбуждение спиновых волн с частотой  $\omega_k = \omega/2$ , необходимо принять во внимание выражение (20) для спектра спиновых волн. Рассмотрим в качестве примера два феррита, представляющие интерес с практической точки зрения:  $\text{BaFe}_{11.4}\text{Sc}_{0.6}\text{O}_{19}$  и  $\text{Ba}_2\text{Zn}_2\text{Fe}_{12}\text{O}_{22}(\text{Zn}_2\text{Y})$ . На рис. 2 и 3 приведены зависимости  $\omega_k$  от  $H_{e0}$  для этих материалов при различных углах  $\theta_H$  между внешним полем и осью анизотропии. При расчете этих зависимостей для данных значений  $H_{e0}$  и  $\theta_H$  численно находилось с помощью (3) значение угла  $\theta_0$ , которое подставлялось затем в (20).

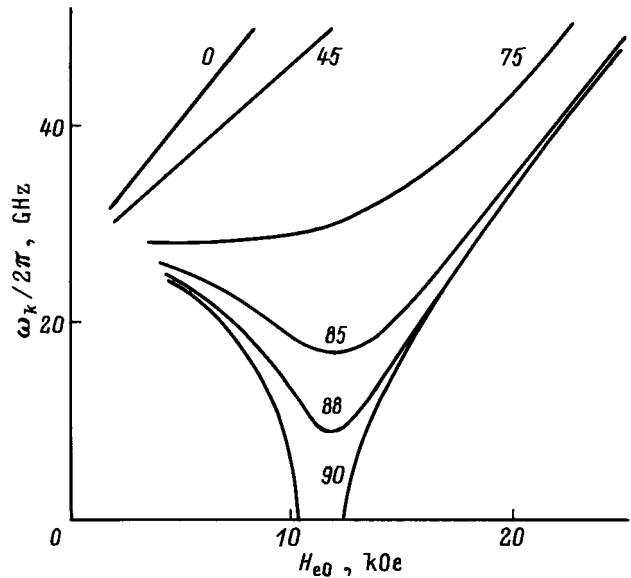


Рис. 2. Спектр спиновых волн с  $k = 0$  и  $\theta_k = 0$  для феррита с легкой осью анизотропии  $2H_{A1} = 11$  кОе,  $4\pi M_0 = 4500$  Г. Цифры у кривых — значения угла  $\theta_H$  в градусах.

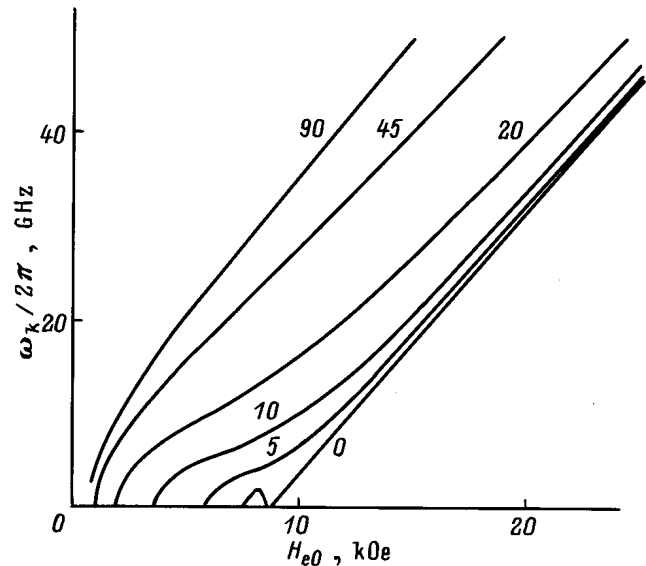


Рис. 3. То же, что на рис. 2, для феррита с легкой плоскостью анизотропии  $2H_{A1} = -8$  кОе,  $4\pi M_0 = 2000$  Г. Цифры у кривых — значения угла  $\theta_H$  в градусах.

Расчет был проведен для  $k = 0$ ; увеличение  $k$  приводит к увеличению  $\omega_k$ , и, таким образом, кривые  $\omega_k(H_{e0})$  при различных значениях  $\theta_H$  на рис. 2 и 3 показывают границы, выше которых возможно возбуждение спиновых волн переменным магнитным полем удвоенной частоты. Значение угла  $\theta_k$  было принято равным 0, потому что при таком его значении частота  $\omega_k$  принимает наименьшее значение (не зависящее от  $\varphi_k$ ).

На рис. 2 видно, что для ферритов с легкой осью и большим полем анизотропии процессы параметрического возбуждения спиновых волн 1-го порядка могут существовать (при не очень высоких частотах) только в узком интервале углов  $\theta_H$  (например, при частоте накачки 36 GHz в интервале углов  $\theta_H = 84.5\text{--}90^\circ$ ). При  $\theta_H = 90^\circ$  процесс параметрического возбуждения спиновых волн 1-го порядка возможен при любых частотах накачки во внешнем поле  $H_{e0} = 2H_{A1}$ , однако значение  $\theta_H$  при этом очень критично.

Для ферритов с анизотропией типа легкая плоскость (рис. 3) возбуждение спиновых волн может происходить при любых значениях угла  $\theta_H$  в широком диапазоне постоянных магнитных полей.

#### 4. Методика расчета

Расчет заключался в минимизации выражения (26) с учетом (27), (28). Входящий в (26) параметр диссипации  $\Delta H_k$ , несомненно, зависит от  $k$ ,  $\theta_k$  и  $\varphi_k$ , что вообще говоря, должно учитываться при минимизации. Если эта зависимость неизвестна, приходится при минимизации считать  $\Delta H_k$  постоянной. Величины  $k$ ,  $\theta_k$ ,  $\varphi_k$  связаны условием  $\omega_k(k, \theta_k, \varphi_k) = \omega/2$ . Поэтому при минимизации достаточно варьировать параметры  $\theta_k$  и  $\varphi_k$ . В общем случае большой анизотропии и наклонной накачки провести минимизацию аналитически затруднительно, однако можно использовать численные методы, сравнивая величины порогового поля для различных значений  $(\theta_k, \varphi_k)$ .

В качестве неварьируемых параметров задавались значения  $\omega$ ,  $H_{A1}$ ,  $M_0$ , а также  $\Delta H_0$  (которая в действительности зависит от  $\theta_0$ , но мы этой зависимостью пренебрегли). Было принято  $\varphi_h = 90^\circ$ , что обычно реализуется в экспериментах по параметрическому возбуждению спиновых волн. Параметрами, которые можно было изменять, являлись  $\theta_H$ ,  $H_{e0}$  и угол  $\alpha$  между  $\mathbf{H}_{e0}$  и  $\mathbf{h}_\sim$  (рис. 1), который при  $\varphi_h = 90^\circ$  составляет

$$\alpha = \theta_h - \theta_H + \theta_0. \quad (29)$$

Поле  $H_{e0}$  пробегало диапазон значений от 0 до 20 кОе, и углы  $\theta_H$  и  $\alpha$  задавались в пределах от 0 до  $90^\circ$ . При каждом значении  $H_{e0}$  рассчитывались значения углов  $\theta_0$  и  $\theta_h$  по формулам (3) и (29) соответственно. Затем для каждой пары значений  $(\theta_k, \varphi_k)$  находилась величина порогового поля. Количество этих пар определяло точность расчета. Интервалы между соседними значениями  $\theta_k$  и  $\varphi_k$  составляли  $0.25^\circ$ . Находилась пара  $(\theta_k, \varphi_k)$ , при которой пороговое поле принимало наименьшее значение. Для этой пары проверялось, является ли соответствующее ей значение  $k$  действительным. В результате программа для всех значений  $\theta_H$  и  $\alpha$  выдавала зависимости  $h_{\text{thr}}/\Delta H_k$ , а также параметров возбуждаемых спиновых волн  $\theta_k$ ,  $\varphi_k$  и  $\sqrt{\eta}k$  от величины внешнего постоянного поля  $H_{e0}$ .

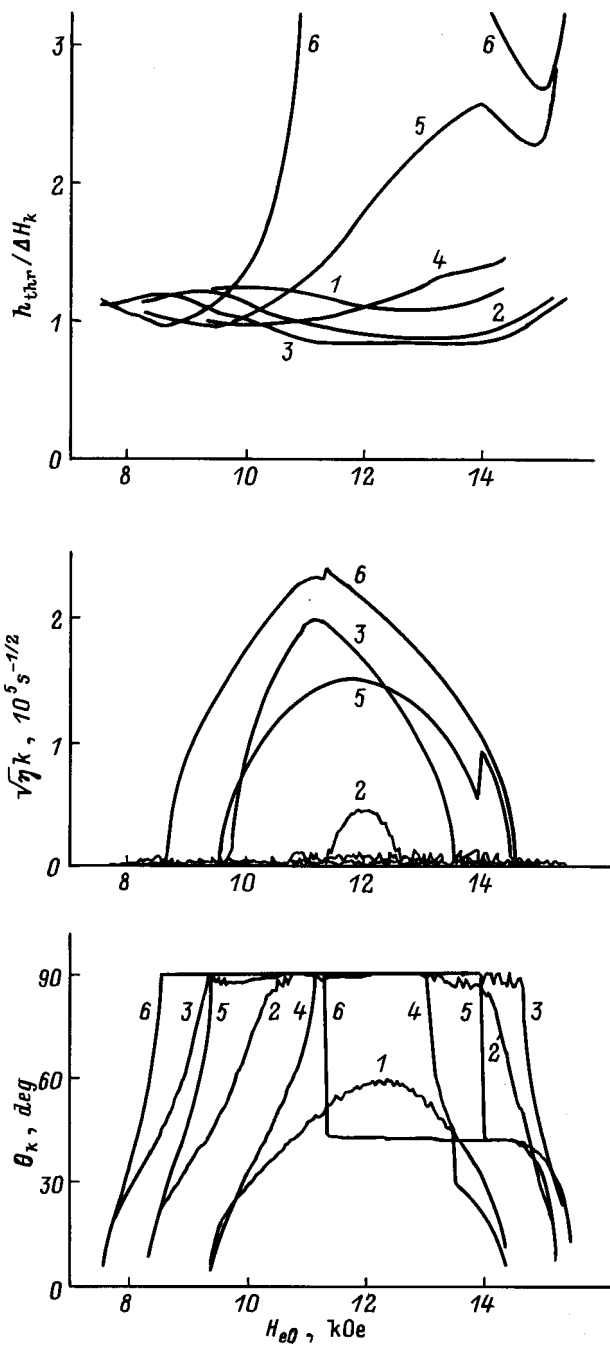
#### 5. Результаты расчета

На рис. 4 и 5 приведены некоторые результаты расчетов, выполненных по описанной выше методике для двух ферритов, упомянутых в разделе 3, при частоте накачки  $\omega/2\pi = 36$  GHz. Показаны зависимости  $h_{\text{thr}}/\Delta H_k$ ,  $\sqrt{\eta}k$  и  $\theta_k$  от величины внешнего постоянного магнитного поля  $H_{e0}$  при различных значениях  $\theta_H$  и двух значениях угла  $\alpha$  между переменным полем и  $H_{e0}$ :  $\alpha = 0$  и  $90^\circ$ . Эти значения соответствуют квазипродольной и квазипоперечной накачке, но в обоих случаях, как подчеркивалось выше, накачка (при произвольных значениях  $\theta_H$ ) является наклонной. Нами не были известны точные значения  $\eta$  для данных ферритов; поэтому пришлось привести величины  $\sqrt{\eta}k$ . Для оценки величин  $k$  возбуждаемых спиновых волн можно использовать значение обменной константы для железиттриевого граната (ЖИГ)  $\eta \cong 0.1$ . Ошибка при этом не будет очень большой, поскольку температура Кюри и средние расстояния между ионами  $\text{Fe}^{3+}$  для этих веществ различаются не сильно.

Из рис. 4 видно, что параметрическое возбуждение спиновых волн для данного феррита с легкой осью анизотропии возможно, как уже отмечалось выше, только в узком интервале углов  $\theta_H$ . При  $\alpha = 0$  (квазипродольная накачка) пороговое поле слабо зависит от  $H_{e0}$  и  $\theta_H$ . Отношение  $h_{\text{thr}}/\Delta H_k$  при этом оказывается близким к 1 в отличие от слабоанизотропных ферритов, например ЖИГ, где при продольной накачке на таких частотах оно значительно превышает 1. Если  $\alpha = 90^\circ$  (квазипоперечная накачка), то величины  $h_{\text{thr}}/\Delta H_k$  сильно зависят от  $H_{e0}$  и значительно превышают 1 тем сильнее, чем ближе направление поля  $\mathbf{H}_{e0}$  к трудному направлению  $\theta_H = 90^\circ$ . При  $\alpha = 90^\circ$  и  $\theta_H = 90^\circ$  максимум порогового поля достигается при  $H_{e0} = 11.3$  кОе и  $h_{\text{thr}}/\Delta H_k$  составляет 9.9. Отметим, что при таком поле имеет место минимум амплитуды однородной прецессии.

Зависимости волновых чисел возбуждаемых спиновых волн от  $H_{e0}$  имеют широкие "горбы", в которых значения  $k$  достигают довольно больших величин (порядка  $10^6 \text{ cm}^{-1}$ , если использовать упомянутую выше оценку). Эти горбы для случая  $\alpha = 0$  лежат в областях  $H_{e0}$ , в которых  $\theta_k = 90^\circ$ . Высоты их уменьшаются при отклонении  $\theta_H$  от  $90^\circ$ . Отметим, что малые значения  $k$  ( $\sqrt{\eta}k \leq 10^4$ ) получаются с обеих сторон горбов, а для  $\theta_H = 86^\circ$  (вблизи предельного значения  $\theta_H = 84.5^\circ$ ) во всем интервале допустимых величин  $H_{e0}$ .

Полярный угол  $\theta_k$  возбуждаемых спиновых волн (рис. 4) составляет  $90^\circ$  в довольно широких пределах изменений  $H_{e0}$  как для квазипродольной, так и для квазипоперечной накачки и уменьшается при подходе к границам интервалов  $H_{e0}$ , в которых возможно параметрическое возбуждение первого порядка. Не приводя полученных величин  $\varphi_k$  отметим лишь, что эти величины существенно зависят от  $H_{e0}$ . Резкие изменения зависимостей  $\varphi_k(H_{e0})$  и  $\theta_k(H_{e0})$ , как правило, происходят при одинаковых значениях  $H_{e0}$ , а сами эти изменения

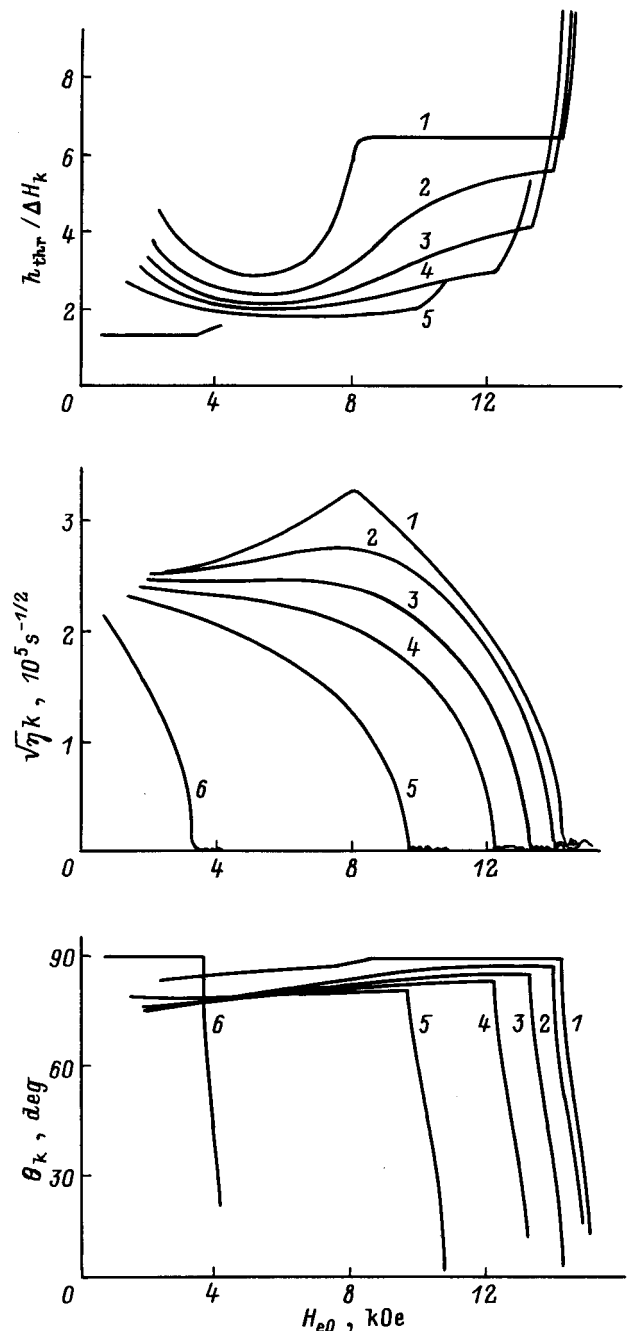


**Рис. 4.** Зависимости порогового поля и параметров возбуждаемых спиновых волн от постоянного внешнего магнитного поля  $H_{e0}$  для феррита с легкой осью анизотропии  $2H_{A1} = 11$  kOe,  $4\pi M_0 = 4500$  G при частоте накачки 36 GHz.  $\alpha$ : 1–3 — 0; 4–6 —  $90^\circ$ ;  $\theta_H$ : 1, 4 —  $86^\circ$ , 2, 5 —  $88^\circ$ , 3, 6 —  $90^\circ$ .

носят обратный характер (одновременно с увеличением  $\varphi_k$  происходит уменьшение  $\theta_k$  и наоборот).

Для феррита с легкой плоскостью анизотропии мы приведем результаты расчета только для случая квазипродольной накачки ( $\alpha = 0$ ). Обращаясь к рис. 5, мы видим, что для такого феррита параметрическое возбуждение спиновых волн возможно в широком интервале

изменения внешнего поля  $H_{e0}$ , в котором существуют (рис. 2) спиновые волны с  $\omega_k = \omega/2$  (область магнитных полей, в которых существует доменная структура, нами не рассматривается). С уменьшением  $\theta_H$ , т.е. по мере приближения  $\mathbf{H}_{e0}$  (а следовательно, и  $\mathbf{M}_0$ ) к трудной оси, наибольшая величина  $H_{e0}$  увеличивается, при этом растут величины  $h_{thr}$ . С ростом  $H_{e0}$  значения  $h_{thr}$  изменяются плавно, пока при некотором  $H_{e0} = H_c$  не начинается их резкий рост, когда величины волнового вектора  $k$  становятся очень малыми; крутизна роста  $h_{thr}$  возрастает



**Рис. 5.** То же, что на рис. 4, для феррита с легкой плоскостью анизотропии  $2H_{A1} = -8$  kOe,  $4\pi M_0 = 2000$  G.  $\theta_H$ : 1 — 0, 2 —  $4^\circ$ , 3 —  $8^\circ$ , 4 —  $12^\circ$ , 5 —  $88^\circ$ , 6 —  $90^\circ$ .

при уменьшении  $\theta_H$ . Углы  $\theta_k$ , которые во всей области больших  $k$  были близки к  $90^\circ$ , при таком значении  $H_{e0}$  начинают резко уменьшаться. Качественно такое поведение  $h_{thr}$ ,  $k$  и  $\theta_k$  в зависимости от  $H_{e0}$  характерно и для чисто продольной накачки [4,6]. Вопрос о том, какие колебания или волны возбуждаются, когда расчет в приближении плоских волн дает  $k \cong 0$ , подробно обсуждался для чисто продольной накачки (см., например, [14]) в ферритах с малой анизотропией. В нашем случае он нуждается в специальном рассмотрении. Величины  $\varphi_k$  для феррита с легкой плоскостью анизотропии в отличие от случая легкой оси слабо зависят от  $H_{e0}$  и в области больших  $k$  лежат в пределах  $90-112^\circ$ . Основные особенности полученных зависимостей при  $\alpha = 0$  можно качественно объяснить, если пренебречь вкладом однородной прецессии намагниченности. Тогда выражение (26) можно привести к виду

$$h_{thr} = \min \left\{ \frac{\Delta H_k}{4\pi M_0 \sin^2 \theta_k \exp(2i\varphi_k) + 2H_{A1} \sin^2 \theta_0} \right\} \times \frac{\omega_M}{\gamma \sin \theta_h}. \quad (30)$$

Из этой формулы следует, что поле  $h_{thr}$  может обращаться в бесконечность только, когда  $\theta_0 = 0$ . Это имеет место при  $\theta_H = 0$ : для  $H_{A1} > 0$  при всех  $H_{e0}$ , а для  $H_{A1} < 0$  — при  $H_{e0} > |2H_{A1}|$ . Поэтому в остальных случаях пороговое поле на границах области возбуждения принимает конечные значения. Из выражения (30) также видно, что для одноосных ферритов с большой анизотропией пороговое поле меньше, чем для изотропных ферритов на таких частотах, так как  $|2H_{A1}|$  существенно превышает  $4\pi M_0$ . Кроме того, формула (30) объясняет возрастание  $h_{thr}$  при уменьшении  $\theta_H$  для  $H_{A1} < 0$ , потому что при одинаковых величинах  $H_{e0}$  значение  $\theta_0$ , согласно (3), уменьшается при уменьшении  $\theta_H$ . Условие минимума (30) требует, чтобы угол  $\theta_k = 90^\circ$ ; необходимо также, чтобы  $\varphi_k = 0$  для  $H_{A1} > 0$  и  $\varphi_k = 90^\circ$  для  $H_{A1} < 0$ .

### Заключение

В данной работе было проведено теоретическое исследование параметрического возбуждения спиновых волн в сфере из одноосного феррита (рассматриваемого как ферромагнетик) с большим полем анизотропии для процессов 1-го порядка при произвольной ориентации внешнего постоянного и переменного магнитных полей относительно оси анизотропии. Путем численной минимизации были найдены значения порогового поля и характеристики возбуждаемых спиновых волн. Существенно, что при достаточно больших значениях  $H_{A1}$  возможно наблюдение очень низких величин порогового поля. Полученные результаты могут быть использованы при нахождении параметра затухания спиновых волн для

различных  $k$ ,  $\theta_k$  и  $\varphi_k$  из экспериментов по параметрическому возбуждению спиновых волн в сильноанизотропных веществах.

Аналогичный расчет может быть проведен и для эллипсоида, в частности, пленки, а также для процессов 2-го порядка параметрического возбуждения спиновых волн в сильноанизотропных одноосных ферритах.

Авторы выражают благодарность В.А.Бокову, С.С.Старобинцу и О.А.Чивилевой за полезные замечания, высказанные при обсуждении этой работы.

### Список литературы

- [1] *Suhl H.* // Phys. Chem. Sol. 1957. Vol. 1. N 4. P. 209–227.
- [2] *Schlömann E., Green J.J., Milano U.* // J. Appl. Phys. 1960. Vol. 31. N 5. P. 386S–395S.
- [3] *Schlömann E., Joseph R.I.* // J. Appl. Phys. 1961. Vol. 32. N 6. P. 1006–1014.
- [4] *Bady I., Schlömann E.* // J. Appl. Phys. 1962. Vol. 33. N 3. P. 1377–1378.
- [5] *Schlömann E., Joseph R.I., Bady I.* // J. Appl. Phys. 1963. Vol. 34. N 3. P. 672–681.
- [6] *Green J.J., Healy B.J.* // J. Appl. Phys. 1963. Vol. 34. N 4. P. 1285–1286.
- [7] *Dixon S.* // J. Appl. Phys. 1963. Vol. 34. N 12. P. 3441–3442.
- [8] *Dixon S., Bauber A., Savage R.O.* // J. Appl. Phys. 1965. Vol. 36. N 3. P. 873–874.
- [9] *Гани В.В.* // ФТТ. 1968. Т. 10. Вып. 7. С. 2177–2182.
- [10] *Яковлев Ю.М.* // ФТТ. 1968. Т. 10. Вып. 8. С. 2431–2437.
- [11] *Яковлев Ю.М., Бурдин Ю.Н.* // ФТТ. 1974. Т. 16. Вып. 2. С. 466–470.
- [12] *Patton C.E.* // Phys. St. Sol. 1979. Vol. B92. N 1. P. 211–220.
- [13] *Kwon H.J., Shin J.Y., Oh J.H.* // J. Appl. Phys. 1994. Vol. 75. N 10. P. 6109–6112.
- [14] *Гуревич А.Г., Мелков Г.А.* Магнитные колебания и волны. М.: Наука, 1994. 462 с.